

## ВЕРОЯТНОСТНАЯ МОДЕЛЬ ВРЕМЕНИ ПЕРЕДАЧИ КАДРА ПО ПРОТОКОЛУ IEEE 802.11 В ОДНОРОДНОЙ НЕНАСЫЩЕННОЙ СЕТИ

А. В. Зюльков, И. В. Татаринцева

*Воронежский государственный университет*

Поступила в редакцию 10.10.2015 г.

**Аннотация.** Представлена вероятностная модель времени передачи кадра по протоколу канального уровня OSI. Получено простое аналитическое соотношение для среднего времени. Исследованы условия насыщения сети.

**Ключевые слова:** IEEE.802.11, марковская модель, время доставки кадра, математическая модель, насыщение.

**Annotation.** The probabilistic model for the transmission time of a frame of the protocol of channel OSI level is currently presented. The simple analytical relation for the mean time is obtained. The conditions of saturation of the network are observed.

**Keywords:** IEEE.802.11, discontinuous markov model, medium access delay, mathematical model, saturation.

### ВВЕДЕНИЕ

Широкое распространение беспроводных локальных сетей, основанных на протоколах IEEE 802.11, обуславливает важность анализа их вероятностно-временных характеристик и возможностей модернизации последних. Несмотря на то, что в настоящее время разработано более тридцати модернизаций, характеристики базового протокола канального уровня, касающегося методов доступа к среде передачи сообщений, являются основой для расчета производительности сети и задержек передачи данных.

Математическая модель процесса свободного доступа к идеальному каналу (CSMA/CA) в виде марковской цепи была предложена в [1] для насыщенных сетей, когда каждый узел в любой момент времени имеет пакет для передачи. В дальнейшем эта модель неоднократно модифицировалась и использовалась, в том числе для полного вероятностного описания задержек в насыщенных сетях [2–6 и др.]. Модернизация модели, позволяющая анализировать неоднородные ненасыщенные

сети, и расчет их усредненных характеристик выполнены в [7].

Настоящая работа посвящена анализу задержек и производительности DCF протокола канального уровня однородной ненасыщенной сети, основываясь на подходе [7]. В дополнение к [7] представлена математическая модель времени передачи кадра; получено простое аналитическое соотношение для среднего времени и дана его ясная физическая интерпретация; исследованы условия насыщения сети и возможность использования соотношений для насыщенной сети в общем случае.

### МАТЕМАТИЧЕСКАЯ МОДЕЛЬ ВРЕМЕНИ ПЕРЕДАЧИ КАДРА

Математическая модель процесса доступа к каналу в [1] (для насыщенной сети) использует дискретную вероятностную модель собственного времени с длительностью физического слота  $\sigma$ , определяемой протоколом передачи информации. Она описывает состояние каждой станции в виде пары неотрицательных целых случайных величин  $(I, K)$ . Процесс доступа абонента к каналу и передача

чи сообщения моделируется двумерной марковской цепью с состояниями  $(I, K)$  в дискретном случайном времени. Изменение состояний происходит через промежутки времени (виртуальные слоты), определяемые вероятностными характеристиками сети и временными параметрами передаваемых кадров.

Состояние (номер) отсрочки (*backoff*)  $I$  характеризует количество коллизий при передаче кадра, отсчитывается от нуля при первой попытке передачи и увеличивается на единицу каждый раз при неудачной попытке до максимального значения  $m$ . Состояние сбрасывается после успешной передачи. Число случайных виртуальных слотов задержки  $K$  в каждом состоянии  $I$  равномерно распределено на интервале  $[0; W_I - 1]$ ,  $W_I = 2^I W_0$ , где  $W_0$  – минимальное окно задержки, задаваемое протоколом. Если в течение виртуального слота канал свободен, то величина  $K$  уменьшается на единицу. Передача происходит при  $K = 0$ .

В [7] для описания ненасыщенной сети к графу марковской цепи [1] добавлено дополнительное состояние  $(0, K-1)e$  – *postbackoff*,  $K \in [0; W_0 - 1]$ , описывающее поведение станции, ожидающей пакета на передачу. Считается, что, как минимум, один пакет, появившийся в виртуальном слоте с вероятностью  $q$ , переводит станцию в состояние  $(0, K-1)$ , а соответствующий *postbackoff* засчитывается как *backoff*. Если номер  $J$  виртуального слота появления кадра на передачу больше выбранной задержки *postbackoff*  $K$ , то станция простаивает  $(J - K)$  слотов в состоянии  $(0, 0)e$  до начала конкуренции за канал, начинающейся сразу при появлении пакета на передачу.

Стационарные вероятности состояний марковской цепи – вероятности коллизий  $p$  и передачи кадра  $\tau$  в виртуальном слоте зависят от числа абонентов сети  $n$  и параметров протокола и найдены в [7]. Они совпадают с результатами [1] для насыщенной сети (при  $q \rightarrow 1$ ) и задаются следующими соотношениями

$$\tau = \frac{a}{b + c(2z + 1)}, \quad p = 1 - (1 - \tau)^{n-1},$$

$$\begin{aligned} a &\equiv \frac{q^2 W_0}{(1-p)(1-q) \left[ 1 - (1-q)^{W_0} \right]} - \frac{q^2(1-p)}{1-q}, \\ b &\equiv (1-q) + \frac{q^2 W_0 (W_0 + 1)}{2(1 - (1-q)^{W_0})} + \\ &+ \frac{q(W_0 + 1)}{2(1-q)} \left[ \frac{q^2 W_0}{1 - (1-q)^{W_0}} + \right. \\ &\left. + p(1-q) - q(1-p)^2 \right], \\ c &\equiv \frac{pq^2}{2(1-q)(1-p)} \left[ \frac{W_0}{1 - (1-q)^{W_0}} - (1-p)^2 \right], \\ z &\equiv W_0 \frac{1-p-p(2p)^{W_0-1}}{1-2p}, \end{aligned} \quad (1)$$

представляющими собой систему двух уравнений для определения  $p$  и  $\tau$ .

Используя приведенное описание процесса доступа к каналу с учетом обозначений и результатов [5, 6], можно записать математическую модель времени передачи кадра в виде суммы времен ожидания появления кадра на передачу (первое слагаемое) и доставки ( $\omega$ ) при его наличии

$$\delta_{J,K} = \sigma_+(J-K)(J-K)\zeta + \omega. \quad (2)$$

Здесь  $\zeta$  – длительность виртуального слота,  $J$  – номер слота в котором появился пакет на передачу – целочисленная дискретная случайная величина (ЦДСВ) с геометрическим распределением  $P_j = q(1-q)^j$ ,  $j = 0, 1, \dots$ ,  $\sigma_+(x)$  – функция единичного скачка, непрерывная справа.

СВ  $\omega$  подробно рассмотрена в [5, 6] и может быть представлена в следующем виде

$$\omega = T_s + N_c T_c + \tau_s, \quad \tau_s = \sum_{j=1}^{w_r} \zeta_j, \quad w_r = \sum_{i=1}^r \chi_i, \quad (3)$$

здесь  $T_s$ ,  $T_c$  и  $\tau_s$  – время успешной передачи, коллизии и *backoff* при доведении кадра; ЦДСВ  $N_c$  имеет геометрическое распределение и принимает любые неотрицательные значения с вероятностями  $(1-p)p^j$ . ЦДСВ  $\chi_i$ ,  $i = 0, m$  равномерно распределена на интервале  $[0; W_i - 1]$ ,  $W_i = 2^{\min(i,m)} W_0$ ; независимые одинаково распределенные СВ  $\zeta$ ,  $\zeta_i$  (длительности виртуальных слотов) принимают значения  $T_s$ ,  $T_c$  и  $\sigma$  с вероятностями

успешной передачи, коллизии и свободного канала  $p_s$ ,  $p_c$ ,  $p_e$  соответственно

$$p_c = (1-\tau)^{n-1}, \quad p_s = (n-1)\tau(1-\tau)^{n-2},$$

$$p_e = 1 - p_s - p_c. \quad (4)$$

Как следует из описания протокола, СВ  $J$ ,  $K$ ,  $\zeta$ ,  $\omega$  независимы в совокупности. Зависимость СВ, входящих в выражение (3) подробно рассмотрена в [6].

Вероятностную модель, задаваемую соотношениями (1)–(4), можно использовать для расчета распределений и вероятностных характеристик времен доведения кадра, а также производительности ненасыщенной сети с DCF протоколом канального уровня.

### СРЕДНЕЕ ВРЕМЯ ПЕРЕДАЧИ КАДРА. ПРОИЗВОДИТЕЛЬНОСТЬ СЕТИ

Из (2) с учетом свойств, входящих в это соотношение СВ, имеем

$$\Delta \equiv \langle \delta_{J,K} \rangle = \langle \sigma_+(J-K)(J-K)\zeta \rangle + \langle \omega \rangle. \quad (5)$$

Здесь угловыми скобками обозначено усреднение по всем случайным факторам, входящим в соотношение (5). Выражение для среднего времени доставки кадра  $\langle \omega \rangle$  при его наличии совпадает по форме с формулой для аналогичной величины в насыщенной сети. В [5, 6] приведено соответствующее простое аналитическое соотношение

$$\langle \omega \rangle = T_s + \frac{pT_c}{1-p} + \frac{\langle \zeta \rangle}{2(1-p)} \left[ \frac{W_0(1-p-p(2p)^m)}{1-2p} - 1 \right], \quad (6)$$

$$\langle \zeta \rangle = p_s T_s + p_c T_c + p_e \sigma, \quad p_s = (n-1)\tau(1-\tau)^{n-2},$$

$$p_e = (1-\tau)^{n-1},$$

$$p_c = 1 - p_s - p_e.$$

Результаты расчетов по формуле (6) хорошо совпадают с результатами имитационного моделирования [5].

Усреднение первого слагаемого в правой части (5) с учетом свойств входящих СВ осуществляется просто

$$\begin{aligned} & \langle \sigma_+(J-K)(J-K)\zeta \rangle = \\ & = \frac{\langle \zeta \rangle}{W_0} \sum_{k=0}^{W_0-1} \sum_{j=0}^{\infty} P_j \sigma_+(j-k)(j-k) = \\ & = \langle \zeta \rangle \frac{1-q}{W_0 q^2} \left[ 1 - (1-q)^{W_0} \right]. \end{aligned}$$

Таким образом, с учетом (6) среднее время доставки кадра в ненасыщенной сети задается соотношением

$$\Delta = \frac{1-q}{W_0 q^2} \left[ 1 - (1-q)^{W_0} \right] \langle \zeta \rangle + T_s + \frac{pT_c}{1-p} +$$

$$+ \frac{\langle \zeta \rangle}{2(1-p)} \left[ \frac{W_0(1-p-p(2p)^m)}{1-2p} - 1 \right], \quad (7)$$

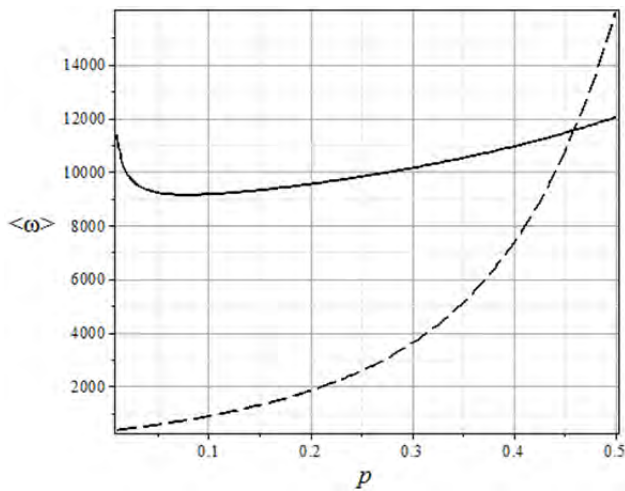
где вероятности  $p$ ,  $\tau$  находятся из (1). Первое слагаемое в этом соотношении описывает среднюю задержку ожидания появления кадра на передачу. Оно дает нулевой вклад в  $\Delta$  при  $q \rightarrow 1$  (переход к насыщенной сети) и превалирует над остальными когда  $q \rightarrow 0$ .

Выражение (7) существенно проще приведенного в [7] в виде трехкратной суммы соотношения (12) для среднего времени передачи пакета. Оно имеет ясный физический смысл и не зависит от вероятности  $P_{idle}$  [7] пустого виртуального слота. К тому же в нем исправлены описки, содержащиеся в (12). Соотношения (7) и (12) из [7] обсуждаются в Приложении.

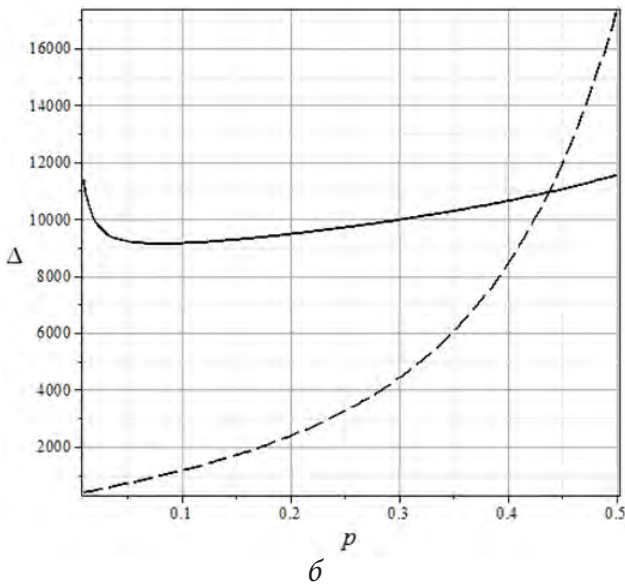
Графики зависимости среднего времени доставки кадра от вероятности коллизий  $p$  приведены в [7] на рис.4. Они построены в предположении, что вероятность  $p$  является независимой переменной. Однако на самом деле эта вероятность изменяется лишь только если меняется один из параметров протокола передачи данных (параметры группы а –  $W_0$ ,  $m$  [5, 6]) или вероятность  $q$  и число абонентов в сети  $n$ . Поскольку эти величины входят в (6), (7) не только как аргументы  $p$ , построенные в [7] зависимости не отражают физической сущности и вводят в заблуждение.

На рис. 1 а, б сплошными линиями нанесены зависимости нормированного на  $\sigma$  среднего времени доставки кадра в насыщенной и ненасыщенной сети соответственно с учетом приведенных соображений, а штриховыми – как функции независимой переменной  $p$ , аналогично [7]. Рисунки построены для параметров канального уровня спецификации DSSS протокола IEEE 802.11 [1], размера кадра 4800 бит, числе станций  $n = 30$  и вероятности  $q = 0,05$  (для ненасыщенной сети). Сплошная и штриховая кривые демонстрируют принципиально различное поведение.

Возрастание средней задержки (сплошная кривая) при больших  $p$  связано с увеличением числа коллизий при передаче кадра, а при малых – с ростом средней длительности виртуального слота. Это полностью соответствует физическим соображениям о существовании, например, оптимального размера начального окна задержки  $W_0$ .



а



б

Рис. 1. Зависимости нормированного на  $\sigma$  среднего времени доставки кадра от вероятности столкновения в насыщенной (а) и ненасыщенной (б) сетях

На рис. 2 приведены зависимости среднего времени доставки кадра от вероятности столкновения при различном насыщении сети. Сплошная линия соответствует средней задержке пакета в насыщенной сети ( $q = 1$ ), пунктирная и штриховая – ненасыщенной

сети при  $q = 0,15$  и  $q = 0,08$  соответственно. Как следует из рис. 2, для рассматриваемого примера максимальная разница в средних временах передачи кадра в рабочем диапазоне вероятностей коллизий ( $p \leq 0,3$ ) в насыщенной ( $q = 1$ ) и ненасыщенной ( $q = 0,08$ ) сетях не превышает 1,5 %.

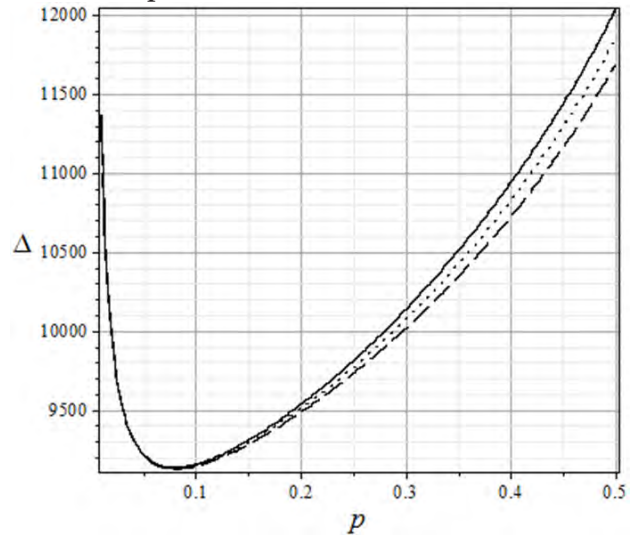


Рис. 2. Зависимости среднего времени доставки кадра от вероятности столкновения при различном насыщении сети

Таким образом, даже при достаточно малых вероятностях  $q$  появления кадра на передачу за время виртуального слота  $\zeta$ , различия в средних задержках передачи кадра насыщенной и ненасыщенной сети малы.

Численный анализ вклада первого слагаемого в (7) в величину  $\Delta$ , проведенный для данных, по которым построены рисунки, показывает, что вероятность появления пакета на передачу в окне  $postbackoff$   $p_0(q) = 1 - (1 - q)^{W_0}$  достаточно велика уже при малых  $q$ :  $p_0(0,15) = 0,995$ ,  $p_0(0,05) = 0,81$ . Таким образом, уже начиная с этих значений  $q$  с приведенными вероятностями для расчета вероятностных характеристик задержки ненасыщенной сети можно использовать соотношения для насыщенной сети. Имея в виду, что для рассматриваемого примера нормированная на длительность пустого слота  $\sigma$  средняя длительность виртуального слота  $\langle \zeta \rangle = 126,762$ , можно утверждать, что уже начиная с вероятностей появления пакета на передачу  $q = 0,15$ ,

$p_0(q) = 0,995$  для анализа средних задержек и производительности сети можно использовать результаты для насыщенной сети.

### ЗАКЛЮЧЕНИЕ

Приведенная математическая модель (1)–(4) пригодна для расчета распределений и различных вероятностно-временных характеристик времени передачи кадра и производительности ненасыщенной сети при использовании исследованного протокола. Она легко обобщается на случай неоднородной сети.

Полученное простое выражение (7) для среднего времени с учетом формулы (1) позволяет исследовать зависимость этой характеристики от параметров сети, станции и протокола. То же самое справедливо и для производительности сети.

Как следует из проведенного численного расчета, условия насыщения сети достаточно слабые, так что часто можно воспользоваться соотношениями и выводами, полученными для насыщенной сети.

### ПРИЛОЖЕНИЕ

В [7] приведено выражение (12) среднего времени передачи кадра. Для однородной ненасыщенной сети оно имеет вид

$$\Delta = \sum_{k=0}^{W_0} \frac{1}{W_0} \sum_{j=0}^{\infty} q(1-q)^j \Delta_{jk},$$

$$\Delta_{jk} = \begin{cases} (k-j)\langle\zeta\rangle + (1-p)T_s + p(T_c + K_1), & k \geq j, \\ P_{idle}((1-p)T_s + p(T_c + K_1)) + (1-P_{idle})K_0, & k < j, \end{cases} \quad (\text{п.1})$$

где  $\langle\zeta\rangle$  – средняя длительность виртуального слота ( $E_s$  в [7]),

$$K_0 = \sum_{j=0}^{\infty} \frac{2^{\min(j,m)}W_0 - 1}{2} p^j \langle\zeta\rangle + \sum_{j=1}^{\infty} jp^j (1-p)T_c + T_s, \quad (\text{п.2})$$

$$K_1 = \sum_{j=0}^{\infty} \frac{2^{\min(j,m)}W_0 - 1}{2} p^{j-1} \langle\zeta\rangle + \sum_{j=1}^{\infty} jp^j (1-p)T_c + T_s, \quad (\text{п.3})$$

$P_{idle}$  – вероятность пустого канала. Непосредственное вычисление величин  $K_0$ ,  $K_1$  в соответствии с (п.2), (п. 3) дает  $K_0 = \langle\omega\rangle(1-p)T_s + p(T_c + K_1) = K_0$ , что позволяет переписать (п.1) в виде

$$\Delta_{jk} = \begin{cases} (k-j)\langle\zeta\rangle + K_0, & k \geq j, \\ K_0, & k < j. \end{cases} \quad (\text{п.4})$$

Таким образом, с учетом содержащихся в (12) [7] опечаток, для исправления соотношений (п. 1), (п. 4) необходимо

– верхний предел суммирования по  $k$  в (п. 1) заменить на  $W_0 - 1$  для выполнения условия нормировки;

– заменить  $j \leftrightarrow k$  в (п. 4) для согласования с описанным в [7] алгоритмом отсрочки.

Окончательно выражения для средней задержки примут вид

$$\Delta = \sum_{k=0}^{W_0-1} \frac{1}{W_0} \sum_{j=0}^{\infty} q(1-q)^j \Delta_{jk},$$

$$\Delta_{jk} = \begin{cases} (j-k)\langle\zeta\rangle + \langle\omega\rangle, & j \geq k, \\ \langle\omega\rangle, & j < k, \end{cases} \quad (\text{п.5})$$

Что после преобразования совпадает с (5).

### СПИСОК ЛИТЕРАТУРЫ

1. Bianchi G. Performance Analysis of the IEEE 802.11 Distributed Coordination Function / G. Bianchi // IEEE Journal on Selected Areas in Comm. – March 2000. – №18 (3). – P. 535–547.
2. Вишнеvский В. М. Широкополосные беспроводные сети передачи данных / В. М. Вишнеvский, А. И. Ляхов, С. Л. Портной, И. В. Шахнович. – М. : Техносфера, 2005. – 592 с.
3. Andrea Zanella Statistical Characterization of the Service Time in Saturated IEEE 802.11 Networks / Andrea Zanella and Francesco De Pellegrini // IEEE Commun. Lett. – March 2005. – Vol. 9, No. 3.
4. Зюльков А. В. Вероятностное описание задержек в насыщенных сетях IEEE 802.11 /

А. В. Зюльков, А. А. Ефанов // Труды конференции «Кибернетика и высокие технологии XXI века». – Воронеж, 2010. – Т. 2. – С. 741–745.

5. Зюльков А. В. Производительность и временная задержка передачи данных по протоколу канального уровня IEEE 802.11 / А. В. Зюльков, А. А. Ефанов // Теория и техника радиосвязи. – Воронеж : 2012. – №1. – С. 10–20.

**Зюльков Александр Владимирович** – канд. ф.-м. наук, доцент кафедры радиоп физики физического факультета Воронежского государственного университета.

E-mail: zyulkov@phys.vsu.ru

**Татаринцева Инна Вадимовна** – магистр 2-го курса кафедры радиоп физики физического факультета Воронежского государственного университета.

E-mail: rozka.4.9.10@yandex.ru

6. Зюльков А. В., Ефанов А. А. Флуктуации временных задержек в системах со свободным доступом / А. В. Зюльков, А. А. Ефанов // Теория и техника радиосвязи. – Воронеж : 2012. – № 2. – С. 28–35.

7. Malone D. Modeling the 802.11 distributed coordination function in non-saturated heterogeneous conditions / D. Malone, K. Duffy and D. J. Leith // IEEE ACM Transactions on Networking. – 2007. – Vol. 15, No. 1. – pp. 159–172.

**Zyulkov Alexander V.** – candidate of physico-mathematical science, assistant professor of chair of radio physics, physical faculty of Voronezh State University.

E-mail: zyulkov@phys.vsu.ru

**Tatarintseva Inna V.** – master 2st course of chair of radio physics of physical faculty of Voronezh State University.

E-mail: rozka.4.9.10@yandex.ru